



## شبیه‌سازی سه‌بعدی جریان گاز هلیم در چاه‌گرمایی آلومینیومی با میکروکanal‌های مستطیلی در رژیم جریان لغزشی

احمدرضا رحمتی<sup>۱\*</sup>، مجتبی سپهرنیا<sup>۲</sup>

<sup>۱</sup> دانشکده مهندسی مکانیک، دانشگاه کاشان، کاشان، ایران

<sup>۲</sup> دانشکده مهندسی عمران، معماری و مکانیک، دانشگاه شهاب دانش، قم، ایران

### تاریخچه داوری:

دریافت: ۱۳۹۶/۰۶/۰۴

بازنگری: ۱۳۹۶/۱۰/۲۳

پذیرش: ۱۳۹۶/۱۱/۱۱

ارائه آنلاین: ۱۳۹۶/۱۱/۱۳

### کلمات کلیدی:

گاز هلیم

چاه‌گرمایی

میکروکanal

عدد ناسلت

عدد نادسن

جریان لغزشی

**خلاصه:** در کار حاضر، برای اولین بار، جریان گاز هلیم در یک چاه‌گرمایی آلومینیومی با میکروکanal‌های مستطیلی شکل، بالحظاظ کردن انتقال حرارت توانمن در بخش سیال و جامد و در نظر گرفتن شرط مرزی سرعت لغزشی و پرش دمایی، مورد بررسی عددی قرار گرفته است. در این پژوهش جریان گاز در محدوده عدد نادسن بین ۰/۰۰۶ و ۰/۰۴۸ و با اعمال شار حرارتی ۵۰۰ وات بر مترمربع به کف چاه درنظر گرفته شده است. معادلات حاکم بر جریان با استفاده از طرح بالا دست مرتبه دوم گسسته‌سازی شده و به کمک الگوریتم کاپلد در نرم‌افزار تجاری انسیس-فلوئنت حل شده‌اند. نتایج نشان می‌دهد با افزایش

نسبت فشار ورودی به خروجی عدد نادسن ورودی و محلی کاهش می‌یابد. همچنین با افزایش عدد نادسن ورودی عدد پوازی محلی کاهش می‌یابد. اضافه براین، با افزایش عدد نادسن ورودی (کاهش نسبت فشار) عدد ناسلت متوسط ابتدا کاهش و سپس افزایش می‌یابد؛ در این خصوص با افزایش عدد نادسن از ۰/۰۰۶ به ۰/۰۲۴ عدد ناسلت متوسط ۴۰٪ کاهش و با افزایش عدد نادسن از ۰/۰۲۴ به ۰/۰۴۸ عدد ناسلت متوسط ۴۲٪ افزایش می‌یابد. با افزایش عدد نادسن مقاومت حرارتی پیوسته افزایش می‌یابد به طوری که با افزایش عدد نادسن از ۰/۰۰۶ به ۰/۰۴۸ افزایش می‌یابد. همچنین با افزایش عدد نادسن ورودی، اثرات لغزش جریان افروده شده و ضرایب لغزش و پرش دما افزایش می‌یابد.

### ۱- مقدمه

جدول ۱: دسته‌بندی جریان گازی [۱]  
Table 1: Gas flow classification

محدوده عدد نادسن	نوع رژیم
<۰/۰۰۱	پیوسته
۰/۰۰۱-۰/۱	لغزشی
۰/۱-۱۰	گذرا
>۱۰	آزاد مولکولی

از آن جایی که جریان گازی در محدوده رژیم لغزشی درون میکروکanal‌ها از مباحث مهم مکانیک سیالات و کاربردی در صنعت می‌باشد، مطالعات زیادی در این زمینه انجام شده‌است که در ذیل به برخی از آن‌ها به ترتیب سال انجام اشاره می‌شود.

ژو و لیائو [۲] انتقال حرارت جابجاگی اجباری جریان گازی درون هر مقطع دلخواه میکروکanal را با شار حرارتی محوری ثابت بررسی

در دهه‌های اخیر تحقیقات گسترده‌ای در زمینه جریان‌های در مقیاس میکرو و نانو و کاربرد آن در صنایع مختلف همچون الکترونیک، حمل و نقل، پژوهشی، هوافضای و غیره انجام شده است. میکروکanal‌ها مجرای‌های در مقیاس میکرو هستند که با سطح مقطع‌های مختلف و به منظور افزایش انتقال حرارت، انتقال سیال، سوخت رسانی و غیره به کار گرفته می‌شوند. زمانی که از یک گاز رقیق به عنوان سیال در میکروکanal‌ها استفاده می‌شود الزاماً سرعت روی دیوار صفر نیست؛ به عبارتی ممکن است شرط لغزش سرعت و پرش دما برای سیال روی مرز جامد برقرار شود. معیار تشخیص و دسته‌بندی جریان گازی عدد بدون بعد نادسن است [۱]. برای محاسبه عدد نادسن از رابطه (۱) استفاده می‌شود که در آن  $\lambda$  پویش آزاد بین مولکولی و  $L_c$  طول مشخصه است. دسته‌بندی جریان گازی بر اساس محدوده عدد نادسن در جدول ۱ ارائه شده است.

$$Kn = \lambda / L_c$$

\* نویسنده عهده‌دار مکاتبات: ar Rahmati@kashanu.ac.ir

حقوق مؤلفین به نویسنده‌گان و حقوق ناشر به انتشارات دانشگاه امیرکبیر داده شده است. این مقاله تحت لیسانس آفرینندگی مردمی (Creative Commons License) در دسترس شما قرار گرفته است. برای جزئیات این لیسانس، از آدرس <https://www.creativecommons.org/licenses/by-nc/4.0/legalcode> دیدن فرمائید.



عنوان سیال خنک کننده استفاده می‌شود که در ذیل به برخی از آن‌ها اشاره می‌شود.

برخورداری و اعتماد [۷] جریان سیال غیرنیوتونی در یک میکروکanal دایره‌ای را با لحاظ کردن شرایط لغزش به صورت عددی شبیه‌سازی کردند. آن‌ها نشان دادند که افزایش ضریب لغزش موجب کاهش ضریب اصطکاک و عدد رینولدز و افزایش عدد ناسلت موضعی می‌شود.

شجاعیان و کوثر [۸] انتقال حرارت و تولید انتروپی جریان سیال نیوتونی و غیر نیوتونی درون میکروکanal صفحه‌ای را به صورت تحلیلی مورد مطالعه قرار دادند. آن‌ها شرایط لغزشی را بر میدان حل اعمال و مشاهده کردند که افزایش ضریب لغزش منجر به افزایش عدد ناسلت و عدد بیژان و کاهش انتروپی تولیدی می‌شود.

کریمی‌بور [۹] انتقال حرارت جریان نانوسیال در یک میکروکanal صفحه‌ای را با در نظر گرفتن شرط لغزش و با استفاده از روش شبکه بولتزمن، به صورت عددی، مطالعه نمود. وی به بررسی رفتار سه نوع نانوسیال آب-آلومینا، آب-مس و آب-نقره پرداخت. وی دریافت استفاده از نانوذرات با کسر حجمی و عدد پرانتل بالا، در صورت وجود ضریب لغزش پایین، بیشترین انتقال حرارت را به دنبال دارد.

در نظر گرفتن بخش جامد پیرامون میکروکanal به دلیل افزایش انتقال حرارت مورد توجه و بررسی محققین قرار گرفته است. تحقیقات بسیاری در زمینه انتقال حرارت توأم، در بخش سیال و جامد، در میکروکanal‌ها صورت گرفته است که در ذیل به برخی از آن‌ها اشاره می‌شود.

ژو و همکاران [۱۰] به مقایسه نتایج تجربی و نتایج حاصل از حل معادله ناویر-استوکس پرداختند. آن‌ها جریان سیال درون دو نوع میکروکanal با زیرلایه سیلیکونی و آلومینیومی را بررسی کردند و نشان دادند در جریان آرام و تراکم‌ناپذیر سیال نیوتونی گذرند از میکروکanal با قطر هیدرولیکی بزرگتر از  $30$  میکرومتر نتایج آزمایشگاهی با نتایج حاصل از حل معادله ناویر-استوکس مطابقت بسیار خوبی دارد.

کو و موداوار [۱۱] به بررسی عددی و تجربی میزان افت فشار و انتقال حرارت در یک میکروکanal مستطیلی از جنس مس پرداختند. شبیه‌سازی‌های عددی با حل توأم انتقال حرارت در ناحیه سیال و جامد، انجام و مورد بررسی قرار گرفت. افت فشار و توزیع دما در حالت

نمودند. آن‌ها با استفاده از تابع اورتونرمال<sup>۱</sup> رژیم جریان لغزشی و پرش دمایی را به صورت تئوری مطالعه کردند. سپس به عنوان نمونه روی مشخصات انتقال حرارت دو نوع میکروکanal مستطیلی و مثلثی متمرکز شده و دریافتند که در شرایط لغزش عدد ناسلت کمتر از حالت عدم لغزش است.

هومن [۳] به بررسی تحلیلی انتقال حرارت و تولید انتروپی هوا درون سیستم‌های میکروالکترومکانیکی (الف-میکروکanal صفحه‌ای ب-میکروکanal دایره‌ای) تحت جریان لغزشی پرداخت. نتایج تحلیلی وی نشان داد: ۱- با افزایش عدد نادسن، عدد ناسلت و انتروپی تولیدی افزایش می‌یابد؛ ۲- با افزایش پرانتل، عدد ناسلت و انتروپی تولیدی افزایش می‌یابد و ۳- با افزایش سرعت، انتروپی تولیدی افزایش می‌یابد.

هیتاکچی و همکاران [۴] در یک مطالعه عددی به بررسی انتقال حرارت جریان گازی در میکروکanal مستطیلی پرداختند. آن‌ها با در نظر گرفتن شرایط لغزشی و پرش دمایی برای دیواره نشان دادند لغزش سرعت باعث افزایش عدد ناسلت و پرش دما باعث کاهش عدد ناسلت می‌شود، لذا اثرات این دو می‌تواند موجب کاهش یا افزایش عدد ناسلت شود.

شجاعیان و دیباچی [۵] انتقال حرارت جریان لغزشی گاز درون میکروکanal‌های مثلثی را به صورت عددی بررسی کردند. آن‌ها نشان دادند در نسبت منظری ثابت، عدد پوازی<sup>۲</sup> با عدد نادسن کاهش می‌یابد. آن‌ها دریافتند در اعداد رینولدز پایین تاثیر عدد رینولدز روی عدد ناسلت چشمگیر است.

محسنی و هومن [۶] انتقال حرارت جریان گازی در میکروکanal نیم‌دایره‌ای را به صورت عددی مورد بررسی قرار دادند. آن‌ها با لحاظ کردن شرایط لغزشی و پرش دمایی نشان دادند برخلاف جریان کاملاً توسعه یافته، که عدد ناسلت مستقل از اعداد رینولدز و پرانتل است، برای جریان در حال توسعه درون میکروکanal نمی‌توان این موضوع را تعمیم داد. همچنین نتایج آن‌ها نشان داد تأثیر شرط مرزی لغزش سرعت و پرش دما روی عدد ناسلت به اثر متقابل لغزش سرعت و پرش دما وابسته است.

در برخی تحقیقات انجام شده در حیطه جریان لغزشی درون میکروکanal از یک سیال غیرگازی (سیال غیرنیوتونی یا نانوسیال) به

<sup>1</sup> Orthonormal

<sup>2</sup> Poiseuille number

فین دار و معمولی بر اساس عملکرد گرمایی و توانایی ساخت آنها پرداختند. نتایج این پژوهش نشان داد که همواره میکروکانال‌های فین دار عملکرد بهتری نسبت به میکروکانال‌های معمولی ندارند به طوری که در تحقیق وی استفاده از میکروکانال فین دار برای مقادیر دبی حجمی بیشتر از ۶۰ گالن بر دقیقه و استفاده از میکروکانال معمولی برای مقادیر دبی حجمی کمتر از ۶۰ گالن بر دقیقه عملکرد حرارتی بهتری را نشان می‌دهد.

موهارانا و همکاران [۱۷] با بررسی جریان درون مینی‌کانالی از جنس مس نشان دادند که جریان در حال توسعه ضریب انتقال حرارت بالایی را در ناحیه ورودی ایجاد می‌کند. بنابراین جهت پراکندگی شار حرارتی بالا نیاز به مجرای‌هایی در مقیاس میکرو و مینی ضروری است. همچنین نتایج آنها نشان داد که تغییرات عدد ناسلت محلی در راستای محوری تحت تاثیر ضریب هدایت حرارتی قرار می‌گیرد. شکاراه و همکاران [۱۸] به بررسی عددی جریان آرام، توسعه یافته و دائم در میکروکانالی سه‌بعدی پرداختند. در این شبیه‌سازی از آلومینیوم، سیلیکون و گرافن به عنوان ماده تشکیل دهنده میکروکانال استفاده شد. نتایج نشان داد که استفاده از گرافن به عنوان ماده تشکیل دهنده میکروکانال موجب کاهش بیشتری در مقدار مقاومت حرارتی می‌شود.

سپهرنیا [۱۹] به بررسی چهار آرایش مختلف ورود/خروج جریان در یک چاه‌گرمایی میکروکانالی ذوزنقه‌ای از جنس سیلیکون، شامل ۵ میکروکانال ذوزنقه‌ای متساوی الساقین، پرداخت. وی از نانوسیال آب-اکسید آلومینیوم به منظور خنک‌کاری یک تراشه الکترونیکی با ابعاد  $16\text{ mm} \times 1/567\text{ mm}$  استفاده نمود. خواص نانوسیال متغیر با دما در نظر گرفته شد و اثر حرکت براوی نانوذرات نیز در شبیه‌سازی‌ها لحاظ گردید. نتایج وی نشان داد استفاده از نانوسیال نسبت به سیال پایه موجب بهبود عملکرد چاه‌گرمایی می‌شود. همچنین لحاظ کردن خواص متغیر با دما و اثر حرکت براوی منجر به پیش‌بینی بالاتری برای مقادیر عدد ناسلت متوسط و مقاومت حرارتی می‌شود. خراسانی‌زاده و سپهرنیا [۲۰] به بررسی عددی جریان آرام در یک چاه‌گرمایی میکروکانالی ذوزنقه‌ای با میکروکانال‌های ذوزنقه‌ای متخلخل پرداختند. آنها ذرات جامد بخش متخلخل و نیز بخش جامد چاه‌گرمایی (شامل فین‌ها و دیواره‌ها) را از جنس مس در نظر گرفتند. نتایج آنها نشان داد استفاده از محیط متخلخل مسی در

تجربی دارای مطابقت قابل قبولی با نتایج عددی بود. این یافته‌ها نشان داد که معادلات ناویر-استوکس می‌توانند جریان سیال و انتقال حرارت در یک میکروکانال را به خوبی تحلیل کنند.

رینود و همکاران [۱۲] ضریب اصطکاک و انتقال حرارت را در مینی‌کانالی دو بعدی از جنس مس به ضخامت ۳۰۰ میکرومتر تا ۱/۱۲ میلیمتر اندازه‌گیری کرد. نتایج تجربی کاهش چشم‌گیر عدد پوازی برای ضخامت در محدوده ۳۰۰ تا ۵۴۰ میکرومتر و کاهش جزئی آن برای ضخامت در محدوده ۵۴۰ میکرومتر تا ۱/۱۲ میلیمتر را نشان می‌دهد. نتایج تجربی تطابق مناسبی با روابط کلاسیک مربوط به کانال‌های معمولی دارد.

جنگ و تزنگ [۱۳] به بررسی انتقال حرارت و افت فشار در یک کانال فین دار پرداختند. فین‌ها از جنس آلومینیوم و دارای آرایش خطی و شطرنجی بود. نتایج آنها نشان داد اگرچه در اعداد رینولدز بالا فین‌های مربعی افت فشار کمتری نسبت به فین‌های دایره‌ای ایجاد می‌کنند اما میزان انتقال حرارت در آنها نسبت به فین‌های دایره‌ای ضعیفتر می‌باشد.

جان و همکاران [۱۴] به بررسی تاثیر شکل هندسی فین‌ها بر روی عملکرد میکروکانال‌های فین دار سیلیکونی پرداختند. آنها شش شکل هندسی شامل مربع، دایره، مستطیل، بیضی، مثلث و متوازی‌الاضلاع را مورد مطالعه قرار دادند. در مطالعه آنها پارامتر معیار شایستگی<sup>۱</sup> که به بررسی همزمان قدرت پمپاژ و مقاومت حرارتی می‌پردازد، به عنوان معیار ارزیابی میکروکانال‌های فین دار مورد بررسی قرار گرفت. نتایج آنها نشان داد در نرخ جریان پایین سیال فین بیضی‌شکل، در نرخ جریان متوسط سیال فین دایره‌ای‌شکل و در نرخ جریان بالای سیال فین مستطیلی‌شکل بهترین عملکرد را از خود نشان می‌دهند. چین و چن [۱۵] به بررسی عددی جریان آب در یک چاه‌گرمایی از جنس سیلیکون پرداختند. آنها ۶ نوع آرایش ورود/خروج بر روی چاه‌گرمایی تعبیه نمودند و اثر آنها را بر میدان جریان و انتقال حرارت چاه‌گرمایی بررسی کردند. نتایج نشان داد زمانی که سیال آب به صورت عمودی وارد چاه‌گرمایی می‌شود عملکرد انتقال حرارت نسبت به زمانی که سیال به صورت افقی وارد چاه‌گرمایی می‌شود بهتر است.

جاسپرسون و همکاران [۱۶] به مقایسه بین میکروکانال‌های

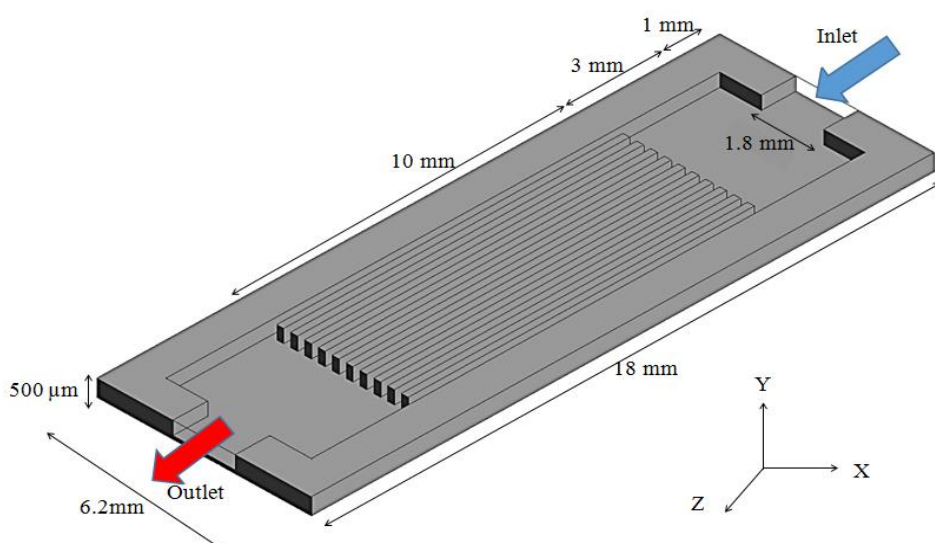
یک میکروکانال بدون در نظر گرفتن بخش جامد پرداخته‌اند اما در این تحقیق با هدف بررسی دقیق و جزئی میدان جریان، شبیه‌سازی‌ها به صورت سه‌بعدی انجام شده و به منظور بهبود خنک‌کاری تراشه الکترونیکی به حل توأم (سیال و جامد) انتقال حرارت در چاه‌گرمایی میکروکانالی پرداخته شده است؛ بدین منظور یک چاه‌گرمایی مستطیلی طراحی شده و درون آن ۱۱ میکروکانال مستطیلی تعییه شده است. به منظور بهبود عملکرد چاه‌گرمایی، فین‌های هم اندازه از جنس آلومینیوم در کنار میکروکانال‌ها قرار داده شده است. مهم‌ترین تفاوت نحوه شبیه‌سازی جریان گازی با جریان مایع در مقیاس میکرو لحاظ نمودن اثرات لغزش (سرعت لغزشی و پرش دمایی) بر روی دیواره می‌باشد؛ اکثر مطالعات پیشین در زمینه انتقال حرارت درون چاه‌گرمایی مربوط به جریان غیر‌گازی بوده و اثر لغزش در آن‌ها لحاظ نشده است اما در این مقاله به بررسی جریان لغزشی گاز هلیم در محدوده  $0.006 < Kn < 0.048$  و تأثیرات آن بر عملکرد چاه‌گرمایی پرداخته شده است.

## ۲- هندسه مسئله

در شکل ۱ چاه‌گرمایی با میکروکانال‌های مستطیلی، برگرفته از هندسه مورد مطالعه چین و چن [۱۵]، نشان داده شده است. جریان گاز هلیم از مرکز دیوار شمالی وارد چاه‌گرمایی شده و از مرکز دیوار جنوبی خارج می‌شود. مسیر جریان گاز شامل ۵ قسمت می‌باشد

چاه‌گرمایی حداکثر تا  $24/5$  درصد در خنک‌کاری تراشه الکترونیکی موثر است. در یک مطالعه عددی دیگر، خراسانی‌زاده و همکاران [۲۱] به بررسی جریان نانوسیال آب-اکسید مس در چاه‌گرمایی با میکروکانال‌های مثلثی، با دو آرایش مختلف با ورودی و خروجی عمودی/افقی، پرداختند. آن‌ها بخش جامد چاه‌گرمایی را سیلیکون در نظر گرفتند. نتایج آن‌ها نشان داد با افزایش فشار ورودی عدد ناسلت متوسط افزایش و مقاومت حرارتی کاهش می‌یابد. خراسانی‌زاده و همکاران [۲۲] به بررسی عددی و سه‌بعدی جریان نانوسیال آب-اکسید آلومینیوم با چهار آرایش مختلف ورود/خروج در یک چاه‌گرمایی سیلیکونی با میکروکانال‌های مثلثی پرداختند. نتایج آن‌ها نشان داد آرایش با ورود/خروج مستقیم نسبت به آرایش با ورود/خروج از جنبین برتری دارد. علاوه بر این، آن‌ها نشان دادند استفاده از نانوسیال حدود ۵ درصد عدد ناسلت متوسط را افزایش و حدود ۲ درصد مقاومت حرارتی را کاهش می‌دهد.

قاسمی و همکاران [۲۳] به بررسی انتقال حرارت توأم در جریان سه‌بعدی و آرام نانوسیال آب-اکسید آلومینیوم در یک چاه‌گرمایی با میکروکانال مثلثی پرداختند. نتایج آن‌ها نشان داد افزایش کسر حجمی نانوذرات موجب افزایش ضرایب انتقال حرارت و اصطکاک می‌شود در حالی که مقاومت حرارتی کاهش می‌یابد. اکثر مطالعات پیشین در زمینه جریان گازی در میکروکانال‌ها به صورت دوبعدی بوده و چنان‌چه سه‌بعدی بوده باشد تنها به بررسی



شکل ۱: چاه‌گرمایی با میکروکانال‌های مستطیلی

Fig. 1: Microchannel heat sink with rectangular microchannels

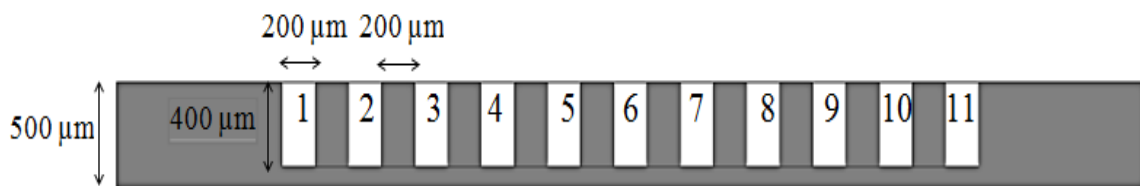
### ۳- معادلات حاکم و شرایط مرزی

معادله پیوستگی، معادلات مومنتوم در سه جهت و نیز معادلات انرژی در بخش سیال (گاز هلیم) و جامد (آلومینیوم) برای جریان آرام و پایایی گاز ایده‌آل تراکم‌ناپذیر با صرف‌نظر از اتفاقات لزجی به ترتیب به صورت زیر بیان می‌شوند:

$$\frac{\partial}{\partial x}(\rho u) + \frac{\partial}{\partial y}(\rho v) + \frac{\partial}{\partial z}(\rho w) = 0 \quad (2)$$

$$\begin{aligned} \frac{\partial}{\partial x}(\rho uu) + \frac{\partial}{\partial y}(\rho vu) + \frac{\partial}{\partial z}(\rho wu) = \\ -\frac{\partial p}{\partial x} + \frac{\partial}{\partial x}\left(\mu \frac{\partial u}{\partial x}\right) + \frac{\partial}{\partial y}\left(\mu \frac{\partial u}{\partial y}\right) + \frac{\partial}{\partial z}\left(\mu \frac{\partial u}{\partial z}\right) \end{aligned} \quad (3)$$

که به ترتیب عبارتند از: ۱-دهانه ورودی ۲-ناحیه پخش کننده ۳-میکروکanal‌ها ۴-ناحیه جمع کننده ۵-دهانه خروجی. شکل ۲ مقطعی از چاه‌گرمایی میکروکanalی را در  $Z=9\text{mm}$  نشان می‌دهد؛ همان‌طور که در شکل ۲ نشان داده شده است چاه‌گرمایی شامل ۱۱ میکروکanal مستطیلی می‌باشد که به وسیله ۱۰ فین از یکدیگر جدا شده است؛ ابعاد میکروکanal‌ها و فین‌ها برابر می‌باشند. شار حرارتی ثابت ۵۰۰ وات بر مترمربع به کف چاه‌گرمایی، که تراشه الکترونیکی با ابعاد  $6/2\text{ mm} \times 18\text{ mm}$  در آنجا قرار دارد، وارد می‌شود. سایر دیوارهای چاه‌گرمایی عایق در نظر گرفته شده است. گاز هلیم به عنوان گاز ایده‌آل تراکم‌ناپذیر در نظر گرفته شده است. خواص بخش سیال و جامد چاه‌گرمایی در جدول ۲ ارائه شده است.



شکل ۲: ابعاد میکروکanal و فین (مقطع ایجاد شده در  $Z=9\text{mm}$ )

Fig. 2: Fin and microchannel dimensions (The created cross section at  $z=9\text{mm}$ )

جدول ۲: خواص مواد در دمای K۳۰۰ [۲۴]

Table 2: Materials properties at 300K [24]

خواص		نوع ماده
$1/99 \times 10^{-5}$	(kg/m s)	سیال (گاز هلیم)
۵۱۹۳	(J/kg K)	
۴/۰۰۳	(kg/kmol)	
۰/۱۵۲	(W/m K)	
۲۰۷۷/۱	(J/kg K)	
۰/۶۸	عدد پرانتل	
۱/۶۶۷	ضریب اتمیسیته گاز	
۰/۰۷۳	ضریب انباشت انرژی	
۰/۹	ضریب انباشت مومنتوم مماضی	
۲۳۷	(W/m K)	جامد (آلومینیوم)

$$u_g \equiv (\vec{u} \cdot \vec{n})_g = u_w \quad (12)$$

در رابطه (۱۱)،  $w$  مولفه سرعت در راستای جریان و موازی با دیوار و  $u$  مولفه سرعت عمود بر دیوار است.  $\sigma_v$ ،  $w_c$ ،  $L_c$  و  $\delta$  ضریب انباشت مومنتوم مماسی، سرعت موازی با دیوار، طول مشخصه و فاصله مرکز سلول تا دیواره است. شرط مرزی پرش دما در مرز گاز-جامد برای دیوارهای موجود در صفحه Y-Z به ترتیب عبارتند از:

$$T_w - T_g = \left( \frac{2 - \sigma_T}{\sigma_T} \right) Kn L_c \left( \frac{\partial T}{\partial n} \right) \approx 2 \left( \frac{2 - \sigma_T}{\sigma_T} \right) \frac{\lambda}{\delta} (T_g - T_c) \quad (13)$$

از رابطه زیر برای به دست آوردن پویش آزاد بین مولکولی استفاده می‌شود:

$$\lambda = \frac{k_B T}{\sqrt{2\pi\sigma^2 p}} \quad (14)$$

در رابطه (۱۴)،  $k_B$  و  $\sigma$  به ترتیب ثابت بولترمن و طول مشخصه لنارد-جونز می‌باشند.

در رابطه (۱۳)،  $\sigma$  ضریب انباشت انرژی است. ضریب لغزش و ضریب پرش دما به ترتیب عبارتند از:

$$\xi = \left( \frac{2 - \sigma_v}{\sigma_v} \right) Kn_{local} \quad (15)$$

$$\varsigma = \left( \frac{2 - \sigma_T}{\sigma_T} \right) \frac{2\gamma}{\gamma + 1} \frac{Kn_{local}}{Pr} \quad (16)$$

در رابطه (۱۶)،  $\gamma$  ضریب اتمیسیته گاز می‌باشد و به صورت زیر تعریف می‌شود:

$$\gamma = \frac{c_p}{c_v} \quad (17)$$

همچنین برای بی بعدسازی سرعت‌های لغزشی در سه راستای  $x$  و  $y$  و  $z$  به ترتیب از روابط زیر استفاده می‌شود:

$$u^* = \frac{u_{slip}}{u_{slip,m}} \quad (18)$$

$$v^* = \frac{v_{slip}}{v_{slip,m}} \quad (19)$$

$$w^* = \frac{w_{slip}}{w_{slip,m}} \quad (20)$$

$$\begin{aligned} \frac{\partial}{\partial x}(\rho uv) + \frac{\partial}{\partial y}(\rho vw) + \frac{\partial}{\partial z}(\rho uw) = \\ - \frac{\partial p}{\partial y} + \frac{\partial}{\partial x}\left(\mu \frac{\partial v}{\partial x}\right) + \frac{\partial}{\partial y}\left(\mu \frac{\partial v}{\partial y}\right) + \frac{\partial}{\partial z}\left(\mu \frac{\partial v}{\partial z}\right) \end{aligned} \quad (4)$$

$$\begin{aligned} \frac{\partial}{\partial x}(\rho uw) + \frac{\partial}{\partial y}(\rho vw) + \frac{\partial}{\partial z}(\rho uw) = \\ - \frac{\partial p}{\partial z} + \frac{\partial}{\partial x}\left(\mu \frac{\partial w}{\partial x}\right) + \frac{\partial}{\partial y}\left(\mu \frac{\partial w}{\partial y}\right) + \frac{\partial}{\partial z}\left(\mu \frac{\partial w}{\partial z}\right) \end{aligned} \quad (5)$$

$$\begin{aligned} \frac{\partial}{\partial x}(\rho uT) + \frac{\partial}{\partial y}(\rho vT) + \frac{\partial}{\partial z}(\rho wT) = \\ \frac{\partial}{\partial x}\left(k_s \frac{\partial T}{\partial x}\right) + \frac{\partial}{\partial y}\left(k_s \frac{\partial T}{\partial y}\right) + \frac{\partial}{\partial z}\left(k_s \frac{\partial T}{\partial z}\right) \end{aligned} \quad (6)$$

$$\frac{\partial}{\partial x}\left(k_s \frac{\partial T}{\partial x}\right) + \frac{\partial}{\partial y}\left(k_s \frac{\partial T}{\partial y}\right) + \frac{\partial}{\partial z}\left(k_s \frac{\partial T}{\partial z}\right) = 0 \quad (7)$$

شرایط مرزی برای معادلات حاکم، وابسته به شرایط کاری چاه‌گرمایی هستند. در کاربردهای صنعتی چاه‌گرمایی به تراشه الکترونیکی، که حرارت تولید می‌کند، متصل می‌شود. جریان گاز هلیم با یک دما و فشار اولیه وارد چاه‌گرمایی می‌شود. شرایط مرزی در ورودی، خروجی و کف چاه‌گرمایی به ترتیب عبارتند از:

$$P = P_{in}, \quad T = T_{in} = 300 \text{ K} \quad (8)$$

$$P = P_{out} = 200 \text{ Pa} = Cte, \quad \frac{\partial T}{\partial z} = 0 \quad (9)$$

$$q_w = -k_s \frac{\partial T_s}{\partial y} \quad (10)$$

$T_{in}$  و  $P_{in}$  به ترتیب فشار و دمای ورودی گاز هلیم،  $P_{out}$  و  $n$  به ترتیب فشار خروجی گاز و جهت نرمال دیوار هستند و شار حرارتی اعمال شده به تراشه الکترونیکی  $500$  وات بر متر مربع است.

شرط مرزی لغزش سرعت در مرز گاز-جامد برای دیوارهای موجود در صفحه Y-Z به ترتیب عبارتند از:

$$w_w - w_g = \left( \frac{2 - \sigma_v}{\sigma_v} \right) Kn L_c \left( \frac{\partial w}{\partial n} \right) \approx \left( \frac{2 - \sigma_v}{\sigma_v} \right) \frac{\lambda}{\delta} (w_g - w_c) \quad (11)$$

$$Re = \frac{\rho V D_{h,in}}{\mu} \quad (29)$$

$$Br = \frac{\mu V^2}{q_w D_h} \quad (30)$$

از اعداد ماخ، رینولدز و برینکمن به ترتیب به منظور بررسی تراکم پذیری جریان، تعیین آرام یا آشفته بودن جریان و میزان اثرات لزجت جریان استفاده می‌شود.  $R$  و  $C$  در رابطه (۲۸) به ترتیب ثابت گاز و سرعت صوت می‌باشند.

#### ۴- روش حل، اعتبار سنجی و استقلال نتایج از شبکه

معادلات حاکم بر مسئله شامل معادلات پیوستگی، مومنتوم و انرژی با طرح بالادست مرتبه دوم گسسته‌سازی و به روش حجم محدود حل شده‌اند. به منظور حل همزمان میدان سرعت و فشار از الگوریتم کاپلد استفاده شده است. به دلیل استفاده از گاز به عنوان سیال خنک‌کننده و ایجاد شرایط لغزشی بر روی مرز جامد-گاز، در نرم افزار تجاری انسیس-فلوئنت از شرایط مرزی سرعت لغزشی و پرش دمایی بر روی دیواره استفاده شده است. معیار همگرایی برای همه معادلات  $10^{-10}$  در نظر گرفته شده است.

به منظور صحت سنجی نتایج ابتدا عدد ناسلت متوسط برای جریان آب در افت فشارهای مختلف با اعمال شار حرارتی ۱۰۰۰ کیلووات بر مترمربع به کف چاه‌گرمایی بدست آمده و با نتایج چین و چن [۱۵] در جدول ۳ مقایسه شده‌اند. اختلاف نسبی نتایج بین مطالعه حاضر و مطالعه چین و چن [۱۵] کمتر از ۲/۶ درصد می‌باشد که نشان از صحت اجرای شبیه‌سازی‌ها دارد. به منظور اعتبار سنجی روش عددی به کار گرفته شده، مقایسه‌ای با مطالعه تجربی فیلیپس [۲۵] برای جریان آب در افت فشار ۵۰ کیلوپاسکال انجام شده است که نتایج آن در قالب مقایسه عدد ناسلت محلی در طول میکروکانال پنجم در جدول ۳: مقایسه عدد ناسلت متوسط بدست آمده در مطالعه حاضر و نتایج چین و چن [۱۵]

**Table 3: Comparison between the average Nusselt number of present work and numerical results of Chein and Chen [15]**

اختلاف نسبی (%)	چین و چن [۱۵]	مطالعه حاضر	افت فشار (kPa)
۱/۱	۸/۴۵	۸/۳۵	۲۵
۱/۳	۹/۱۳	۹/۰۱	۳۵
۲/۶	۹/۹	۹/۶۴	۵۰

که اندیس  $m$  نشان‌دهنده سرعت متوسط گاز در راستای مورد نظر در کل دامنه حل محاسباتی است. عدد بدون بعد پوازی نیز از رابطه زیر بدست می‌آید:

$$Po = \frac{\Delta PD_h^2}{2L_{hs} \mu V_{m,fluid}^2} = f \times Re \quad (21)$$

در رابطه (۲۱)  $L_{hs}$  طول چاه‌گرمایی است. عدد بدون بعد پوازی محلی نیز به صورت زیر تعریف می‌شود:

$$Po_{local} = \frac{(P_{local} - P_{out}) D_h^2}{2L_{hs} \mu V_{m,local}^2} \quad (22)$$

برای بررسی عملکرد چاه‌گرمایی میکروکانالی از عدد ناسلت متوسط و مقاومت حرارتی استفاده می‌شود. عدد ناسلت متوسط به صورت زیر تعریف می‌شود:

$$Nu_m = \frac{h D_h}{k_g} \quad (23)$$

$h$  ضریب انتقال حرارت جابجایی متوسط، به صورت زیر محاسبه می‌شود:

$$q_w = h (T_{hs,m} - T_{g,m}) \quad (24)$$

$T_{g,m}$  به ترتیب دمای متوسط چاه‌گرمایی و دمای متوسط گاز هلیم هستند. لذا عدد ناسلت متوسط از رابطه زیر بدست می‌آید:

$$Nu_m = \frac{q_w D_h}{k_g (T_{hs,m} - T_{g,m})} \quad (25)$$

قطر هیدرولیکی میکروکانال مستطیلی است و از رابطه زیر بدست می‌آید:

$$D_h = \frac{4A}{p} \quad (26)$$

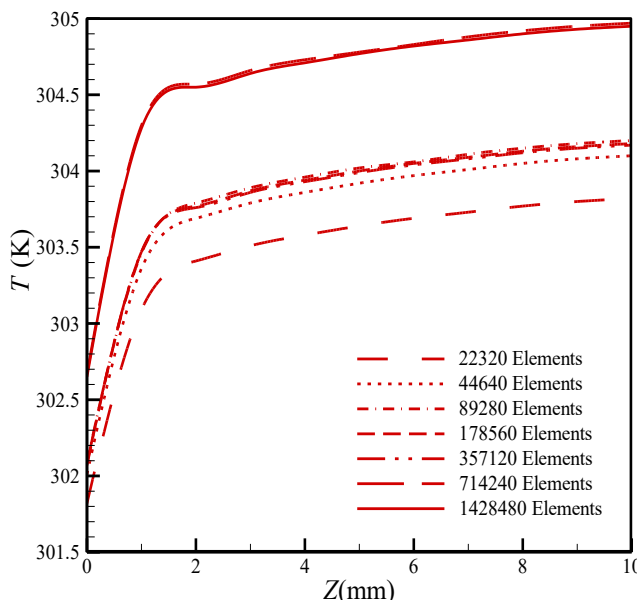
A مساحت مقطع میکروکانال و  $p$  محیط تر شده است. مقاومت حرارتی از رابطه زیر بدست می‌آید:

$$R_{th} = \frac{T_{w,max} - T_{in}}{q_w W_{hs} L_{hs}} \quad (27)$$

در رابطه (۲۷)  $W_{hs}$  عرض چاه‌گرمایی و  $T_{w,max}$  بیشترین دمای کف چاه‌گرمایی است.

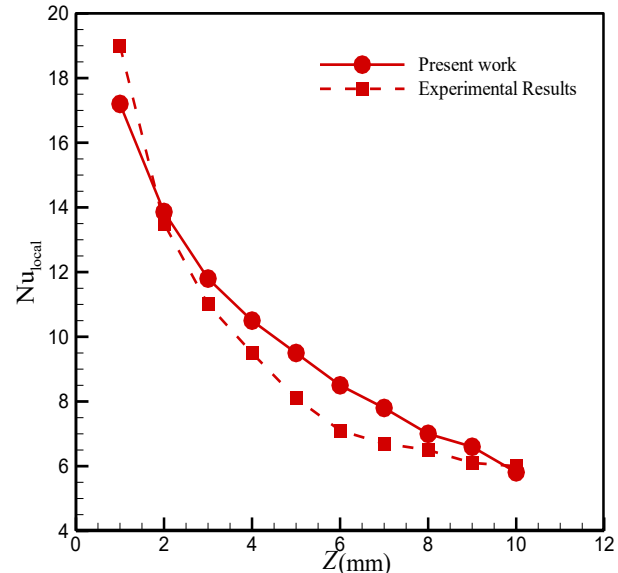
اعداد بدون بعد ماخ، رینولدز و برینکمن به ترتیب به صورت زیر تعریف می‌شوند:

$$Ma = \frac{V}{C} = \frac{V}{\sqrt{\gamma RT}} \quad (28)$$



شکل ۴: تغییرات دما برای جریان گاز هلیوم در نسبت فشار ۸ و شار حرارتی ۵۰۰ وات بر مترمربع در مرکز میکروکانال ششم

Fig. 4: Variation of temperature at the center of the sixth microchannel for helium gas flow, pressure ratio of 8 and heat flux of 500 W/m<sup>2</sup>



شکل ۳: مقایسه تغییرات عدد ناسلت محلی در مطالعه حاضر و مطالعه تجربی فیلیپس [۲۵] در طول میکروکانال شماره ۵، افت فشار ۵۰ کیلوپاسکال و شار حرارتی ۱۰۰۰ کیلووات بر مترمربع

Fig. 3: Variation of local Nusselt number along microchannel #5 for the present study and the experimental study of Phillips [25] at  $\Delta P=50$  kPa

جدول ۴: مقادیر اعداد بدون بعد نادسن، ماخ، رینولدز و برینکمن در ورودی چاه گرمایی برای نسبت فشار ورودی به خروجی مختلف

Table 4: Dimensional numbers of Knudsen, Mach, Reynolds, and Brinkman at inlet of microchannel heat sink for different pressure ratio

عدد برینکمن	عدد رینولدز	عدد ماخ	عدد نادسن	نسبت فشار
۰/۰۰۰۴	۱۳/۵۲۶	۰/۰۳۵	۰/۰۴۸	۲
۰/۰۰۳۷	۴۱/۷۷۳	۰/۰۱۸	۰/۰۲۴	۴
۰/۰۱۹۴	۹۵/۵۹۶	۰/۰۰۸	۰/۰۱۲	۸
۰/۰۷۹۴	۱۹۲/۲۴۲	۰/۰۰۲	۰/۰۰۶	۱۶

میکروکانال ششم چاه گرمایی آلومینیومی ارائه شده است؛ نتایج نشان می‌دهد شبکه با تعداد المان ۷۱۴۲۴۰ مناسب می‌باشد.

## ۵- نتایج و بحث

همان طور که پیش‌تر، در بخش معادلات حاکم و شرایط مرزی، بیان شد از گاز هلیوم به عنوان یک گاز ایده‌آل و تراکم‌ناپذیر، تحت رژیم جریان آرام، به منظور خنک‌کاری تراشه الکترونیکی تعییه شده در کف چاه گرمایی میکروکانالی استفاده شده است. در کلیه مراحل شبیه‌سازی فرضیات مورد استفاده قرار گرفته است که نتایج آن در جدول ۴ ارائه شده است. در جدول ۴ اعداد نادسن، ماخ،

شکل ۳ ارائه شده است. مقادیر عدد ناسلت محلی بدست آمده و به خصوص روال تغییرات آن مطابقت خوبی با نتایج تجربی فیلیپس [۲۵] نشان می‌دهند، لذا از صحت روش عددی استفاده شده و نتایج تحقیق حاضر اطمینان حاصل می‌شود. لازم به ذکر است هندسه پژوهش حاضر کاملاً مشابه با هندسه مورد مطالعه در کار عددی چین و چن [۱۵] و کار تجربی فیلیپس [۲۵] می‌باشد.

به‌منظور استقلال نتایج از شبکه، هفت نوع شبکه بر دامنه محاسباتی منطبق گردید که تعداد المان‌های هر شبکه در شکل ۴ ارائه شده است. در شکل ۳ تغییرات دمای محلی برای جریان گاز هلیوم در نسبت فشار ۸ و شار حرارتی ۵۰۰ وات بر مترمربع در مرکز

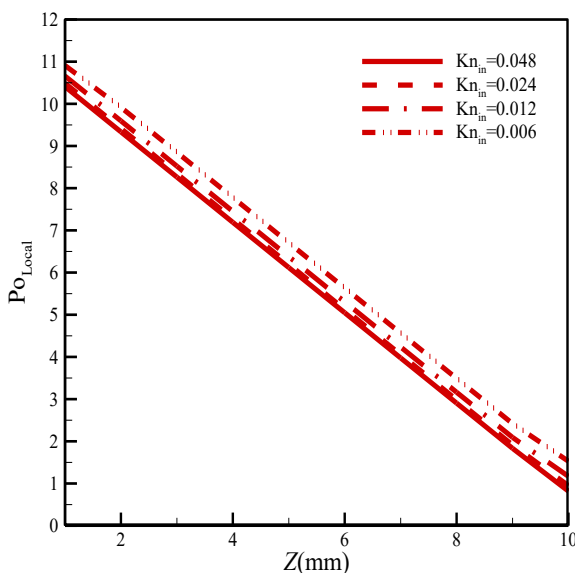
با کاهش عدد نادسن ورودی به چاه‌گرمایی، که معادل با افزایش فشار ورودی در چاه‌گرمایی می‌باشد، عدد پوازی محلی افزایش می‌یابد. از لحاظ رابطه ریاضی، با توجه به ثابت بودن فشار در خروجی چاه‌گرمایی، با افزایش فشار ورودی در چاه‌گرمایی مطابق با رابطه (۲۲) فشار محلی در صورت و سرعت محلی در مخرج افزایش می‌یابد، افزایش محلی سرعت و فشار و غلبه یکی از آن‌ها بر دیگری می‌باشد زیرا سایر پارامترهای رابطه (۲۲) ثابت می‌باشند. لذا زمانی که فشار ورودی افزایش می‌یابد، افزایش فشار محلی نسبت به افزایش سرعت متوسط محلی در هر مقطع میکروکانال غالب بوده و باعث افزایش عدد پوازی محلی در هر نقطه می‌گردد. از نقطه نظر فیزیکی، با افزایش عدد نادسن پویش آزاد بین مولکولی زیاد می‌شود؛ با افزایش پویش آزاد بین مولکولی، درگیری گاز هلیم با دیوارهای آلومینیومی و به تبع آن اصطکاک با دیواره کاهش یافته و بنابراین عدد پوازی کاهش می‌یابد. در شکل ۷ تغییرات عدد نادسن محلی در طول میکروکانال ششم در نسبت فشارهای مختلف نشان داده شده است. در راستای جریان به دلیل اصطکاک جریان گاز با دیوارهای میکروکانال فشار کاهش می‌یابد و در نتیجه پویش آزاد بین مولکولی افزایش یافته و لذا عدد نادسن محلی افزایش می‌یابد. همچنین مطابق انتظار، با افزایش

رینولدز و برینکمن در ورودی چاه‌گرمایی ارائه شده است. همان‌طور که نتایج نشان می‌دهد حداقل عدد نادسن ۰/۰۴۸، حداقل عدد ماخ ۰/۰۳۵ و حداقل عدد رینولدز ۱۹۳/۲۴۲ می‌باشد که به ترتیب نشان از صحت فرض لغزشی بودن، تراکم‌ناپذیر بودن و آرام بودن جریان دارد. همچنین حداقل عدد برینکمن ۰/۰۷۹۴ می‌باشد که نشان می‌دهد فرض ناچیز بودن اثرات لزجت صحیح بوده است. لازم به ذکر است اعداد بدون بعد ارائه شده در جدول ۴ در ورودی جریان به چاه‌گرمایی، به عنوان محل بحرانی، مورد بررسی قرار گرفته است لذا در سایر قسمت‌های چاه‌گرمایی نیز فرضیات مسئله صحیح می‌باشند.

در شکل ۵ تغییرات عدد نادسن ورودی با نسبت فشار ورودی به خروجی نشان داده شده است. چنان‌که از شکل ۵ مشاهده می‌شود، با افزایش نسبت فشار عدد نادسن ورودی کاهش می‌یابد، زیرا با افزایش فشار چگالی گاز افزایش یافته و با افزایش چگالی پویش آزاد بین مولکولی و به تبع آن عدد نادسن کاهش می‌یابد. لازم به توضیح است که حاصل ضرب فشار در عدد نادسن همواره مقدار ثابتی است، لذا داریم:

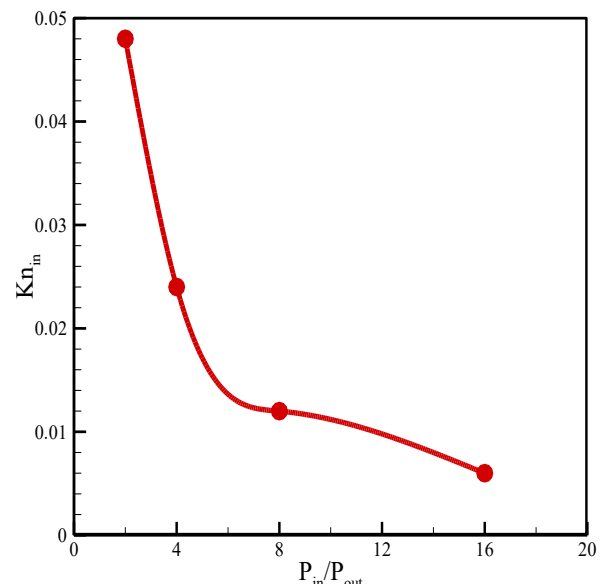
$$Kn(x) \times P(x) = Constant \quad (31)$$

در شکل ۶ تغییرات عدد پوازی محلی در راستای میکروکانال ششم نشان داده شده است. همان‌طور که در شکل ۶ مشاهده می‌شود



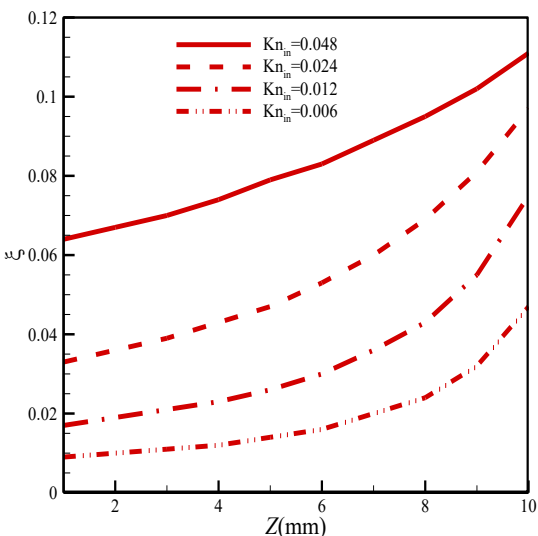
شکل ۶: تغییرات عدد پوازی محلی در طول میکروکانال ششم در اعداد نادسن ورودی مختلف

Fig. 6: The variations of Poiseuille number along the sixth microchannel for different inlet Knudsen numbers



شکل ۵: تغییرات عدد نادسن ورودی با نسبت فشار ورودی به خروجی

Fig. 5: The variations of inlet Knudsen number in terms of inlet to outlet pressure ratio



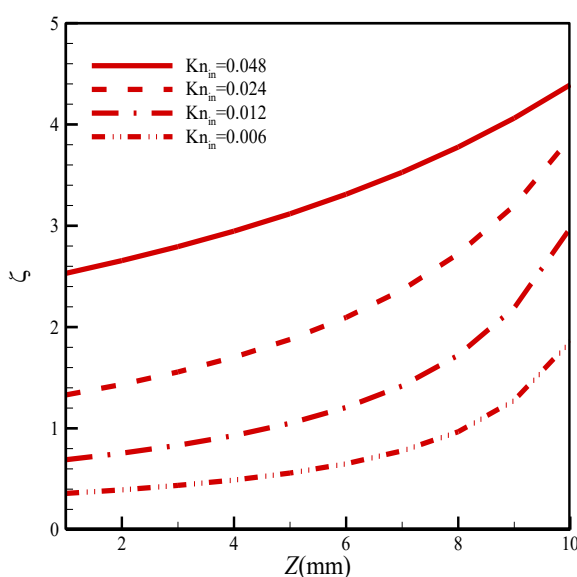
شکل ۸: تغییرات ضریب لغزش در طول میکروکanal ششم در اعداد نادسن ورودی مختلف

Fig. 8: The variations of slip coefficient coefficient along the sixth microchannel for different inlet to outlet pressure ratio

شکل ۱۱ نشان می‌دهد که فشار گاز در میکروکanal‌های کناری بدليل آثار اصطکاک ناشی تاثیرات دیواره دچار افت بیشتری شده‌اند لذا مقادیر فشار در آن‌ها نسبت به میکروکanal‌های میانی کمتر است. در شکل ۱۲، نتایج کانتور دما نشان می‌دهد که میکروکanal‌های جانی بدلیل وجود ضخامت بخش آلومینیومی که در کنار خود دارند حرارت

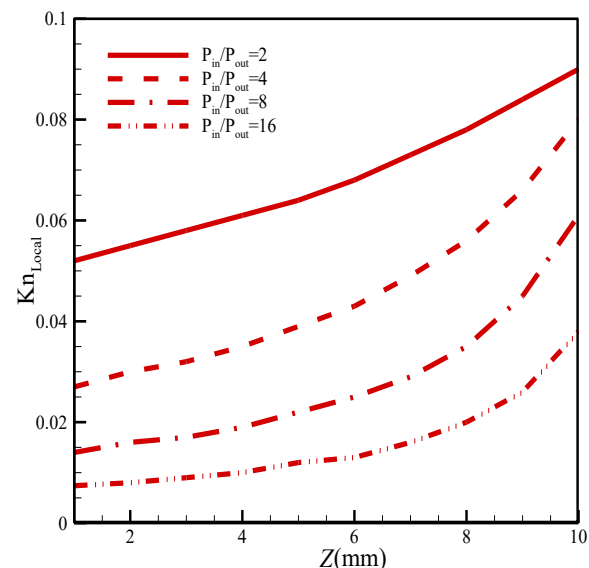
نسبت فشار، عدد نادسن محلی در هر مقطع از میکروکanal کاهش می‌یابد. در شکل‌های ۸ و ۹ به ترتیب تغییرات ضرایب لغزش و پرش دما در طول میکروکanal ششم نشان داده شده‌است. همان‌طور که مشاهده می‌شود روند تغییرات این دو ضریب کاملاً مشابه تغییرات عدد نادسن در طول میکروکanal ششم می‌باشد؛ دلیل این امر آن است که تغییرات ضرایب لغزش و پرش دما وابسته به عدد نادسن محلی می‌باشد. مطابق با روابط (۱۵) و (۱۶) ضرایب لغزش و پرش دما با عدد نادسن رابطه مستقیم دارد؛ همان‌طور که بیان شد فشار و عدد نادسن رابطه معکوس دارند لذا ضرایب لغزش و پرش دما با فشار رابطه معکوس دارند. از همین‌رو همان‌طور که در شکل‌های ۸ و ۹ مشاهده می‌شود چون با حرکت در راستای جريان از فشار کاسته می‌شود بنابراین ضرایب لغزش و پرش دما افزایش می‌باشد؛ همچنان برای اعداد نادسن ورودی بالاتر (فشار ورودی پایین‌تر) پروفیل ضرایب لغزش و پرش دما ارتقا پیدا می‌کند.

در شکل‌های ۱۰ تا ۱۲ به ترتیب کانتورهای سرعت، فشار و دمای گاز هلیم در مقطع وسط میکروکanal‌ها ( $Z=9 \text{ mm}$ ) در نسبت فشار ۱۶ نشان داده شده است. همان‌طور که در شکل ۱۰ نشان داده شده است حداکثر سرعت در مرکز میکروکanal‌ها ایجاد شده و سرعت گاز با نزدیک شدن به دیواره کاهش یافته است. نتایج کانتور فشار در



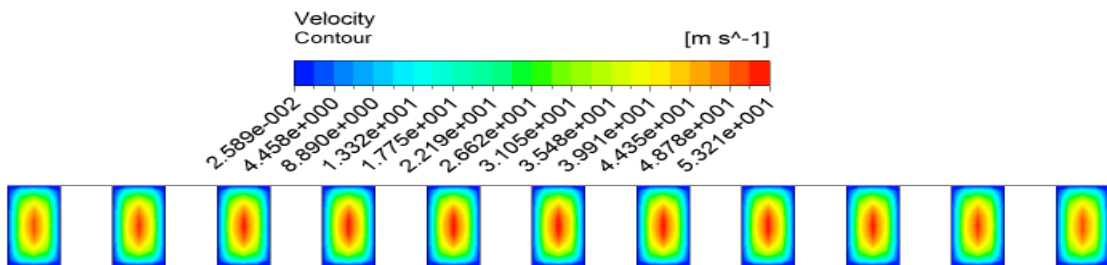
شکل ۹: تغییرات ضریب پرش دما در طول میکروکanal ششم در اعداد نادسن ورودی مختلف

Fig. 9: The variations of temperature jump coefficient along the sixth microchannel for different inlet to outlet pressure ratio



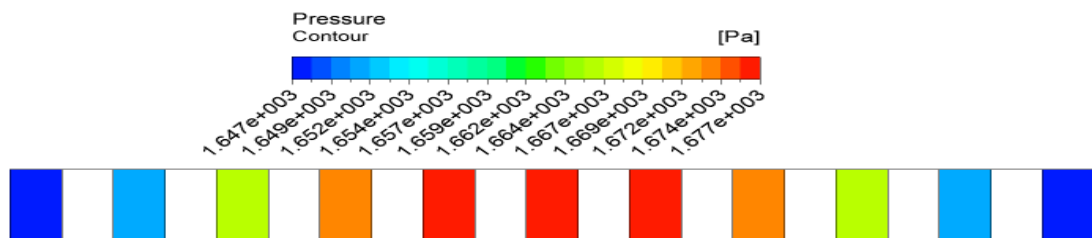
شکل ۷: تغییرات عدد نادسن محلی در طول میکروکanal ششم برای چهار نسبت فشار ورودی به خروجی مختلف

Fig. 7: The variations of local Knudsen number along the sixth microchannel for different inlet to outlet pressure ratio



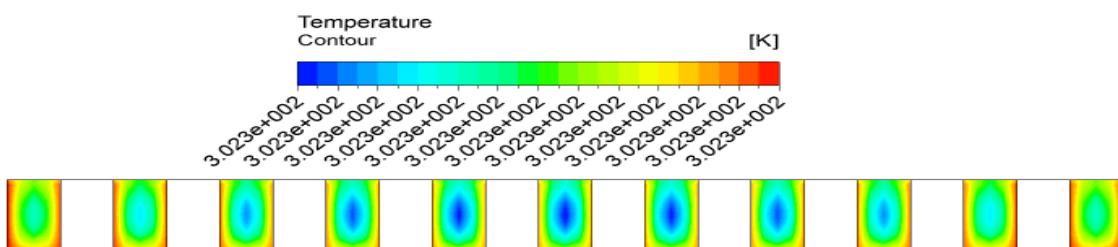
شکل ۱۰: کانتور سرعت در وسط میکروکانال‌ها در نسبت فشار ۱۶

Fig. 10: Velocity distribution at the mid plane of the microchannels for pressure ratio of 16



شکل ۱۱: کانتور فشار در وسط میکروکانال‌ها در نسبت فشار ۱۶

Fig. 11: Pressure distribution at the mid plane of the microchannels for pressure ratio of 16



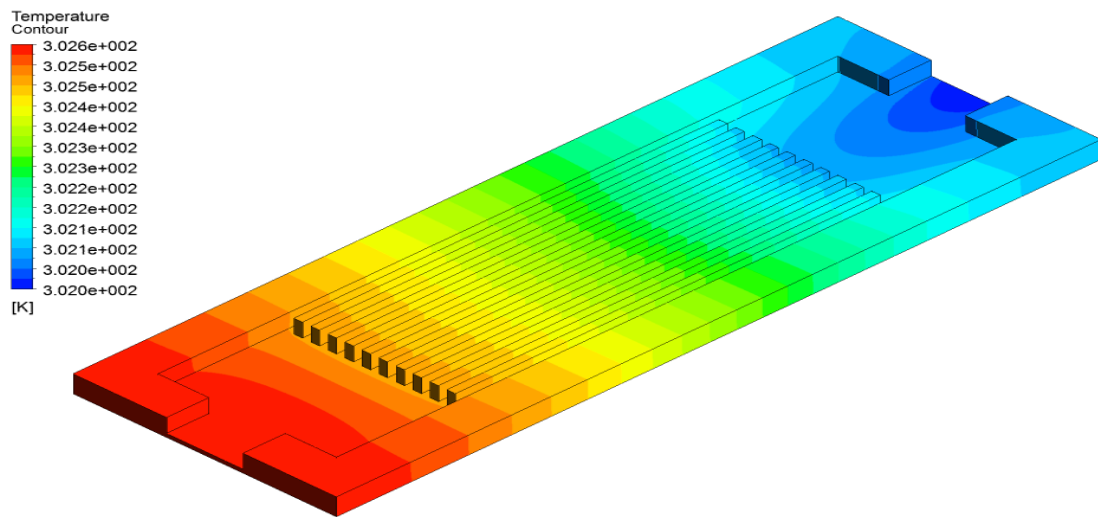
شکل ۱۲: کانتور دما در وسط میکروکانال‌ها در نسبت فشار ۱۶

Fig. 12: Temperature distribution at the mid plane of the microchannels for pressure ratio of 16

خط عمودی (در راستای Y) رسم شده است. همان‌طور که از شکل ۱۴ مشاهده می‌شود سرعت بر روی دیواره‌ها غیر صفر بوده و پروفیل سرعت نسبت به مرکز خطوط افقی و عمودی، متقارن می‌باشد. آن‌چه در شکل ۱۴ مشاهده می‌شود کاملاً مطابق با شکل ۱۰ می‌باشد. در شکل ۱۵ تغییرات عدد ناسلت متوسط و مقاومت حرارتی با عدد نادسن ورودی نشان داده شده است. همان‌طور که مشاهده می‌شود با افزایش عدد نادسن، عدد ناسلت متوسط ابتدا کاهش و سپس افزایش می‌یابد. برای تحلیل مناسب روند تغییرات عدد ناسلت متوسط با عدد نادسن ورودی جدول ۵ شامل دمای متوسط گاز، دمای متوسط چاه

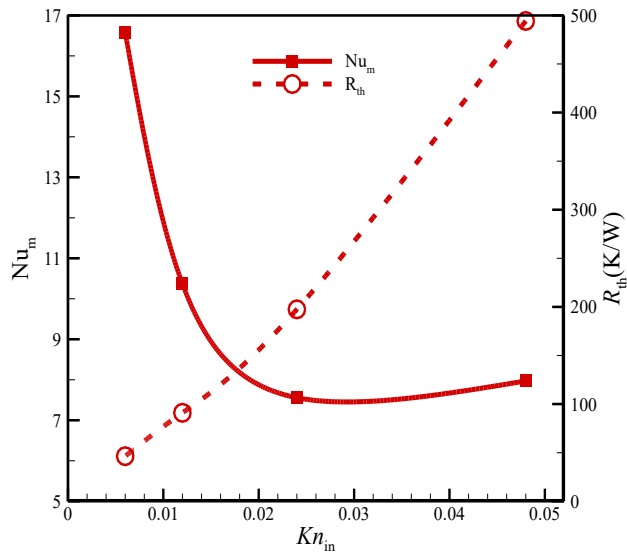
بیشتری را جذب کرده و در نتیجه دما (متوسط، کمینه و بیشینه) در آن‌ها نسبت به میکروکانال‌های میانی بیشتر است. در شکل ۱۳ کانتور دما در بخش آلومینیومی چاه گرمایی در نسبت فشار ۱۶ نشان داده شده است. همان‌طور که از شکل ۱۳ مشاهده می‌شود دمای بخش آلومینیومی چاه گرمایی در ابتدای چاه پایین‌تر از دمای بخش آلومینیومی در انتهای چاه می‌باشد زیرا در ورودی چاه بدلیل سرعت بالاتر گاز، انتقال حرارت جابجایی بیشتر است.

در شکل ۱۴ توزیع مولفه سرعت در راستای جریان در میانه میکروکانال ششم ( $Z=9 \text{ mm}$ ) روی یک خط افقی (در راستای X) و



شکل ۱۳: کانتور دما در بخش جامد چاه گرمایی در نسبت فشار ۱۶

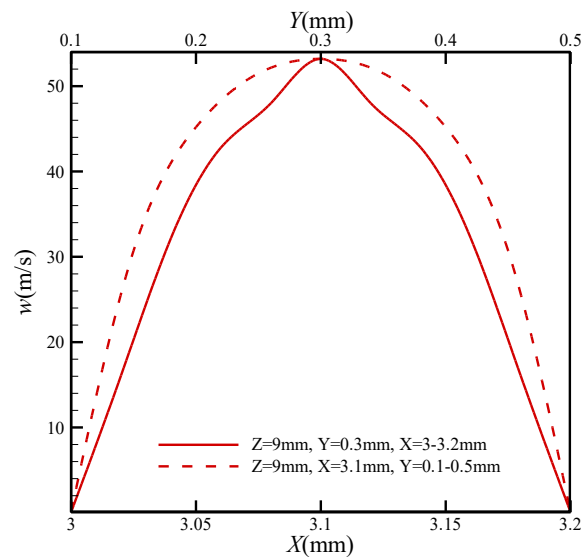
Fig. 13: Temperature distribution in the solid parts of microchannel heat sink for pressure ratio of 16



شکل ۱۵: تغییرات عدد ناسلت متوسط و مقاومت حرارتی با عدد نادسن ورودی برای شار حرارتی  $500 \text{ وات} / \text{مترمربع}$

Fig. 15: The variations of Nusselt number and thermal resistance in terms of inlet Knudsen number for heat flux of  $500 \text{ W/m}^2$

عدد ناسلت متوسط اهمیت می‌یابد اختلاف این دو دماس است که در جدول ۵ ارائه شده است. همان‌طور که مشاهده می‌شود با افزایش عدد نادسن ورودی از  $0.006 / 0.024$  تا  $0.048 / 0.048$  اختلاف دمای گاز و چاه‌گرمایی افزایش می‌یابد لذا مطابق رابطه (۲۵) عدد ناسلت متوسط کاهش می‌یابد. اما با افزایش عدد نادسن ورودی از  $0.024 / 0.048$  تا  $0.032 / 0.048$  اختلاف دمای گاز و چاه‌گرمایی کاهش و لذا عدد ناسلت متوسط افزایش می‌یابد. بررسی‌های کمی نشان می‌دهد که با افزایش عدد نادسن



شکل ۱۴: تغییرات مولفه سرعت  $w$  بر روی خط افقی و عمودی در مرکز میکروکانال ششم در نسبت فشار ۱۶

Fig. 14: The variations of the velocity ( $w$ ) along the horizontal and vertical lines at the center of sixth microchannel for pressure ratio of 16

و اختلاف این دو دما در فشارهای ورودی مختلف ارائه شده است. همان‌طور که از اطلاعات جدول ۵ قابل برداشت است، با کاهش عدد نادسن و افزایش فشار، انتقال حرارت افزایش یافته و دمای متوسط چاه‌گرمایی کاهش می‌یابد؛ همچنین با کاهش عدد نادسن و افزایش فشار در مسیر جريان، سرعت گاز در مسیر جريان بالا رفته و فرصت کافی برای انتقال گرما به لایه‌های بالایی گاز کاهش می‌یابد لذا دمای متوسط گاز نیز کاهش می‌یابد. مطابق رابطه (۲۵) آن‌چه در محاسبه

جدول ۵: دمای متوسط گاز و چاه و اختلاف آن‌ها در اعداد نادسن ورودی مختلف و شار حرارتی ۵۰۰ وات بر مترمربع

Table 5: The average temperature of gas and microchannel heat sink and their differences for different inlet Knudsen numbers and heat flux of 500 W/m<sup>2</sup>

عدد نادسن ورودی	دمای متوسط گاز(K)	دمای متوسط چاه(K)	اختلاف دمای متوسط گاز و چاه(K)
۰/۰۰۶	۳۰/۱۹۸۸	۳۰/۲۳۲۱	-۰/۳۳۳
۰/۰۱۲	۳۰/۴۲۴۲	۳۰/۴۷۷۳	-۰/۵۳۱
۰/۰۲۴	۳۰/۹۹۴۹	۳۱/۰۶۷۸	-۰/۷۲۹
۰/۰۴۸	۳۲/۶۵۲۱	۳۲/۷/۲۱۲	-۰/۶۹۱

رابطه (۲۷) مقاومت حرارتی افزایش می‌یابد. بررسی‌ها نشان می‌دهد با افزایش عدد نادسن ورودی از ۰/۰۰۶ به ۰/۰۴۸ مقاومت حرارتی افزایش ۹۶۶/۳۴ می‌یابد.

## ۶- نتیجه‌گیری

شبیه‌سازی‌ها برای جریان گاز ایده‌آل هلیم در محدوده عدد نادسن  $Kn = 0/006 \text{ to } 0/048$  انجام شد. شار حرارتی ثابت ۵۰۰ وات بر مترمربع به کف چاه‌گرمایی اعمال شد. جنس چاه‌گرمایی و فین‌ها آلومینیوم درنظر گرفته شد. به دلیل استفاده از گاز به عنوان سیال خنک‌کننده و قرار گرفتن عدد نادسن در محدوده رژیم جریان لغزشی، شرط مرزی در مرز جامد-گازی با لحاظ کردن سرعت لغزشی و پرش دمایی اعمال شد. عملکرد جریان گازی در چاه‌گرمایی با تغییرات پارامترهای مختلف شامل عدد پوازی محلی، عدد نادسن محلی، ضرایب لغزش و پرش دما، توزیع سرعت، عدد ناسلت متوسط و مقاومت حرارتی با عدد نادسن ورودی انجام و مورد تجزیه و تحلیل قرار گرفت. نتایج زیر بدست آمد:

- با افزایش نسبت فشار عدد نادسن کاهش و عدد پوازی افزایش می‌یابد به عبارتی میزان لغزش کاهش و درگیری مولکول‌های گاز با دیواره و به تبع آن اصطکاک افزایش می‌یابد.
- به دلیل کاهش فشار گاز هلیم در راستای جریان عدد نادسن در طول میکروکانال افزایش می‌یابد، همچنین با افزایش نسبت فشار مقدار نادسن در یک مقطع خاص کاهش می‌یابد.
- تغییرات ضرایب لغزش و پرش دما در طول میکروکانال متأثر و همسو با تغییرات عدد نادسن محلی است، لذا با افزایش نسبت فشار

ورودی از ۰/۰۰۶ تا ۰/۰۴۸، عدد ناسلت متوسط ۵۴/۴۰ کاهش و با افزایش عدد نادسن ورودی از ۰/۰۴۸ تا ۰/۰۲۴ عدد ناسلت متوسط ۴۲٪ افزایش می‌یابد. بررسی تغییرات عدد ناسلت متوسط با عدد نادسن از منظر وجود اثر متقابل سرعت لغزشی و پرش دمایی قابل تحلیل است. وجود سرعت لغزشی در دیواره‌ها موجب افزایش انتقال حرارت می‌شود لذا با افزایش عدد نادسن، بهدلیل افزایش سرعت لغزشی، انتقال حرارت افزایش می‌یابد. همچنین وجود پرش دمایی در مرز گاز-جامد موجب کاهش انتقال حرارت می‌شود و در نتیجه با افزایش عدد نادسن، بهدلیل افزایش پرش دمایی، انتقال حرارت کاهش می‌یابد. در مجموع می‌توان گفت تغییرات عدد ناسلت متوسط، به عنوان معیار مناسبی از انتقال حرارت، با عدد نادسن وابسته به اثر مخالف سرعت لغزشی و پرش دمایی بر انتقال حرارت است. در مسئله حاضر برای اعداد نادسن کوچکتر از ۰/۰۲۴ اثر پرش دمایی بر اثر لغزش سرعت غالب است لذا با افزایش عدد نادسن از ۰/۰۰۶ تا ۰/۰۲۴ عدد ناسلت کاهش می‌یابد؛ برای اعداد نادسن بزرگتر از ۰/۰۲۴ اثر لغزش سرعت بر اثر پرش دما غالب است. بنابراین عدد ناسلت متوسط از ۰/۰۰۶ تا ۰/۰۴۸ افزایش می‌یابد.

در شکل ۱۵ تغییرات مقاومت حرارتی نیز نشان داده شده است. همان‌طور که مشاهده می‌شود با افزایش عدد نادسن مقاومت حرارتی پیوسته افزایش می‌یابد زیرا با افزایش عدد نادسن، فشار جریان و به تبع آن سرعت جریان گازی، به جز در دیواره‌ها، کاهش یافته و به تبع آن انتقال حرارت جابجایی کاهش می‌یابد. در نتیجه حداکثر دمای بخش جامد چاه‌گرمایی کاهش می‌یابد. که در کف چاه‌گرمایی واقع است، افزایش می‌یابد. در اثر افزایش حداکثر دمای کف چاه‌گرمایی مطابق

$J\text{kg}^{-1}\text{K}^{-1}$	$R$	مقدار ضرایب لغزش و پرش دما در هر مقطع از جریان کاهش می‌یابد.
$\text{KW}^{-1}$	$R_{\text{th}}$	-۴- با افزایش عدد نادسن ورودی از $0/006$ به $0/048$ مقاومت حرارتی پیوسته افزایش می‌یابد؛ میزان افزایش مقاومت حرارتی در این بازه $966/34\%$ است.
عدد رینولدز	$Re$	
دما، $\text{K}$	$T$	
سرعت سیال، $\text{ms}^{-1}$	$V$	-۵- با افزایش عدد نادسن ورودی از $0/006$ به $0/012$ و از $0/012$ به $0/024$ عدد ناسلت متوسط به ترتیب $37/45\%$ و $27/10\%$ کاهش و با افزایش عدد نادسن از $0/024$ به $0/048$ عدد ناسلت متوسط افزایش $5/42\%$ می‌یابد.
عرض، $m$	$W$	
مؤلفه‌های مختصاتی	$x, y, z$	
<b>حروف یونانی</b>		
ضریب اتمیسیته گاز	$\gamma$	-۶- تغییرات عدد ناسلت متوسط با عدد نادسن متأثر از اثر متقابل سرعت لغزشی و پرش دمایی در مرز جامد-گاز است. در تحقیق حاضر برای اعداد نادسن ورودی کمتر از $0/024$ افزایش پرش دمایی بر افزایش سرعت لغزشی غالب است لذا با افزایش عدد نادسن عدد ناسلت متوسط کاهش می‌یابد و برای اعداد نادسن ورودی بیشتر از $0/024$ افزایش سرعت لغزشی بر افزایش پرش دمایی غالب است لذا با افزایش عدد نادسن عدد ناسلت متوسط افزایش می‌یابد.
ضریب پرش دما	$\zeta$	
پویش آزاد بین مولکولی	$\lambda$	
لزجت دینامیکی، $\text{kgm}^{-1}\text{s}^{-1}$	$\mu$	
ضریب لغزش	$\zeta$	
چگالی، $\text{kgm}^{-3}$	$\rho$	
طول مشخصه لنارد-جونز	$\sigma$	
ضریب انباشت انرژی	$\sigma_T$	
ضریب انباشت مومنتوم مماسی	$\sigma_V$	

## فهرست علائم

زیرنویس‌ها		
کanal	ch	سطح مقطع میکروکanal، $\text{m}^2$
گاز	g	عدد برینکمن
هیدرولیکی	h	سرعت صوت، $\text{ms}^{-1}$
چاه‌گرمایی	hs	گرمای ویژه، $\text{J\text{kg}^{-1}\text{K}^{-1}}$
ورودی	in	قطر هیدرولیکی میکروکanal، $\text{m}$
محلی	Local	ضریب جابجایی حرارتی، $\text{W\text{m}^{-2}\text{K}^{-1}}$
متوسط	m	ارتفاع، $\text{m}$
حداکثر	max	هدایت حرارتی، $\text{W\text{m}^{-1}\text{K}^{-1}}$
خروجی	out	ثابت بولتزمن، $\text{JK}^{-1}$
جامد	s	عدد نادسن
دیوار	w	طول، $\text{m}$
<b>مراجع</b>		
[1] S. Kandlikar, S. Garimella, D. Li, S. Colin, M.R. King, Heat transfer and fluid flow in minichannels and microchannels, elsevier, 2005.		
[2] X. Zhu, Q. Liao, Heat transfer for laminar slip flow in a		
		$A$
		$Br$
		$C$
		$c_p$
		$D_h$
		$h$
		$H$
		$k$
		$k_B$
		$Kn$
		$L$
		$Ma$
		$Nu$
		$P$
		$p$
		$Po$
		$Pr$
		$q$

- microchannels, International Communications in Heat and Mass Transfer, 27(8) (2000) 1165-1176.
- [11] W. Qu, I. Mudawar, Experimental and numerical study of pressure drop and heat transfer in a single-phase micro-channel heat sink, International Journal of Heat and Mass Transfer, 45(12) (2002) 2549-2565.
- [12] S. Reynaud, F. Debray, J.-P. Franc, T. Maitre, Hydrodynamics and heat transfer in two-dimensional minichannels, International journal of heat and mass transfer, 48(15) (2005) 3197-3211.
- [13] T.-M. Jeng, S.-C. Tzeng, Pressure drop and heat transfer of square pin-fin arrays in in-line and staggered arrangements, International Journal of Heat and Mass Transfer, 50(11) (2007) 2364-2375.
- [14] T. John, B. Mathew, H. Hegab, Characteristic Study on the Optimization of Pin-Fin Micro Heat Sink, in: Proceedings of the ASME 2009 International Mechanical Engineering Congress & Exposition IMECE2009-11816, 2009, pp. 1-8.
- [15] R. Chein, J. Chen, Numerical study of the inlet/outlet arrangement effect on microchannel heat sink performance, International Journal of Thermal Sciences, 48(8) (2009) 1627-1638.
- [16] B.A. Jasperson, Y. Jeon, K.T. Turner, F.E. Pfefferkorn, W. Qu, Comparison of micro-pin-fin and microchannel heat sinks considering thermal-hydraulic performance and manufacturability, IEEE Transactions on Components and Packaging Technologies, 33(1) (2010) 148-160.
- [17] M.K. Moharana, G. Agarwal, S. Khandekar, Axial conduction in single-phase simultaneously developing flow in a rectangular mini-channel array, International Journal of Thermal Sciences, 50(6) (2011) 1001-1012.
- [18] A.J. Shkarah, M.Y.B. Sulaiman, M.R.B.H. Ayob, H. Togun, A 3D numerical study of heat transfer in a single-phase micro-channel heat sink using graphene, aluminum and silicon as substrates, International Communications in Heat and Mass Transfer, 48 (2013) 108-115.
- [19] M. Sepehrnia. Three Dimensional Numerical microchannel of arbitrary cross section with complex thermal boundary conditions, Applied Thermal Engineering, 26(11-12) (2006) 1246-1256.
- [3] K. Hooman, Entropy generation for microscale forced convection: effects of different thermal boundary conditions, velocity slip, temperature jump, viscous dissipation, and duct geometry, International Communications in Heat and Mass Transfer, 34(8) (2007) 945-957.
- [4] H.M. Hettiarachchi, M. Golubovic, W.M. Worek, W. Minkowycz, Three-dimensional laminar slip-flow and heat transfer in a rectangular microchannel with constant wall temperature, International Journal of Heat and Mass Transfer, 51(21) (2008) 5088-5096.
- [5] M. Shojaeian, S.A.R. Dibaji, Three-dimensional numerical simulation of the slip flow through triangular microchannels, International Communications in Heat and Mass Transfer, 37(3) (2010) 324-329.
- [6] E.M. Languri, K. Hooman, Slip flow forced convection in a microchannel with semi-circular cross-section, International Communications in Heat and Mass Transfer, 38(2) (2011) 139-143.
- [7] M. Barkhordari, S.G. Etemad, Numerical study of slip flow heat transfer of non-Newtonian fluids in circular microchannels, International Journal of Heat and Fluid Flow, 28(5) (2007) 1027-1033.
- [8] M. Shojaeian, A. Koşar, Convective heat transfer and entropy generation analysis on Newtonian and non-Newtonian fluid flows between parallel-plates under slip boundary conditions, International Journal of Heat and Mass Transfer, 70 (2014) 664-673.
- [9] A. Karimipour, New correlation for Nusselt number of nanofluid with Ag/Al<sub>2</sub>O<sub>3</sub>/Cu nanoparticles in a microchannel considering slip velocity and temperature jump by using lattice Boltzmann method, International Journal of Thermal Sciences, 91 (2015) 146-156.
- [10] A. Xu, K. Ooti, N. Wong, W. Choi, Experimental investigation of flow friction for liquid flow in

- [22] H. Khorasanizadeh, M. Sepehrnia, R. Sadeghi, "Investigation of nanofluid flow field and conjugate heat transfer in a MCHS with four different arrangements", Amirkabir Journal of Mechanical Engineering, 51(2) (2019) 113-116 (in Persian).
- [23] M. Sepehrnia. Three Dimensional Numerical Investigation Of Nanofluid Flow And Heat Transfer In Trapezoidal Micro Channels With Different Inlet/Outlet Arrangements. MSc. Thesis. University of Kashan, 2015 (in Persian).
- [24] T.L. Bergman, F.P. Incropera, Fundamentals of heat and mass transfer, John Wiley & Sons, 2011.
- [25] R.J. Phillips, Microchannel Heat Sinks, Lincoln Laboratory Journal, 1(1) (1988).
- Investigation Of Nanofluid Flow And Heat Transfer In Trapezoidal Micro Channels With Different Inlet/Outlet Arrangements. MSc. Thesis. University of Kashan, 2015 (in Persian).
- [20] H. Khorasanizadeh, M. Sepehrnia, Effects of different inlet/outlet arrangements on performance of a trapezoidal porous microchannel heat sink, Modares Mechanical Engineering, 16(8) (2016) 269-280 (in Persian).
- [21] H. Khorasanizadeh, M. Sepehrnia, R. Sadeghi, Three dimensional investigations of inlet/outlet arrangements and nanofluid utilization effects on a triangular microchannel heat sink performance, Modares Mechanical Engineering, 16(12) (2017) 27-38 (in Persian).